

図 3: 唇の内側形状を抽出している様子

鼻やあごの部分唇の一部としてとらえてしまった場合でも、顔の頬の部分については、それを唇ととらえてしまう動作例はほとんど無いことから、唇の幅はある程度正確に求められえていることが多い。

つぎに、唇の内側形状を抽出する場合、鼻やあごの部分に引っかかり正しく唇の外側形状を抽出できていなかった場合でも、あごと唇の領域は連続している場合が多いことなどから、唇内側下半分の形状は比較的正確に抽出できている。



図 4: 唇の外側形状の抽出の失敗例

4 母音認識の手法

動的輪郭モデルの収縮により得られた動作点の座標を基に、母音を認識する手法を提案する。

本手法では、各母音ごとにテンプレートを用意し、収縮した動作点との距離を計算することによって母音を認識する。あらかじめ登録しておくテンプレートの作成手順としては、はじめに母音を発話している時の画像に対し動的輪郭モデルを適用し、収縮した動作点の座標データを取得する。続いて座標データを正規化する。最後に正規化したデータをそれぞれの母音ごとに平均し、二次曲線に近似した。テンプレートを曲線にすることで、距離計算の手間を軽減できると考えた。

5 唇形状抽出システムのハードウェア実現

3で述べた唇形状抽出手法を、様々なシステムへ組み込むためにそのハードウェア化を試みた。ハードウェア化はFPGA上に行うこととし、画像入出力回路、FPGAと画像メモリを搭載した装置を開発した。画像の入出力はNTSC規格に準拠した信号を取り扱うこ

ととし、またFPGAにはALTERA社のAPEX20KC EP20K200CF484C8を用いた。このFPGAのロジックエレメント数は8,320であり、20万ゲートに相当する規模のFPGAである。システム全体の構成を図5に示す。

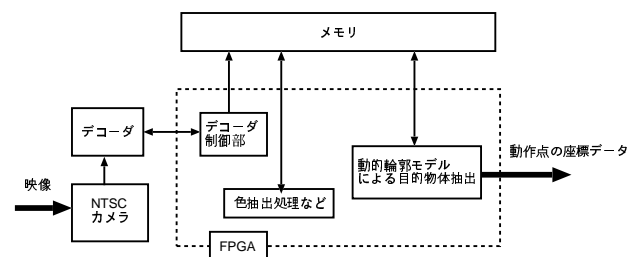


図 5: システム構成

3で述べた読唇手法ならびに画像入出力回路の制御回路を実装した結果、65%のハードウェア量でシステムを実現できた。動的輪郭モデル部の1フレームの処理に必要なクロック数は約267,000であり、FPGAのクロックが48MHzである条件下で毎秒30フレームの動画を処理するに十分な処理速度を実現できた。またメモリアクセス数については、外側形状抽出の最大収束回数を50回、内側形状抽出の最大収束回数を30回としたとき、最高でも約15,000回となり、他の手法に比べ大幅に低減できた。

次に母音認識の実験を行った。母音のテンプレート曲線は、それぞれ20枚の画像の動的輪郭モデルを適用した結果を平均したものを使用して作成した。この認識システムにそれぞれの母音20枚ずつ、計100枚の画像を与えた時の認識結果を表1に示す。

表 1: 母音認識結果

母音	誤って認識された数
あ	1
い	0
う	1
え	1
お	1

6 おわりに

本稿では、発話時の画像に動的輪郭モデルを適用し、取得した唇形状を基に母音を認識する手法を提案した。提案した手法はFPGA上にハードウェア実現し、認識実験をした結果、その有効性を確認した。今後の課題として、本稿で示した母音認識の手法を、単語認識システム開発へと応用する事を考えている。また、カメラと映る人物の位置により唇の大きさが変化するので、大きさに依らないシステムを開発する事を考えている。